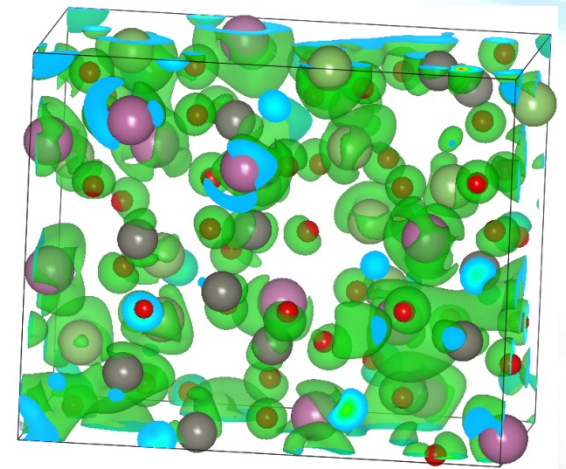
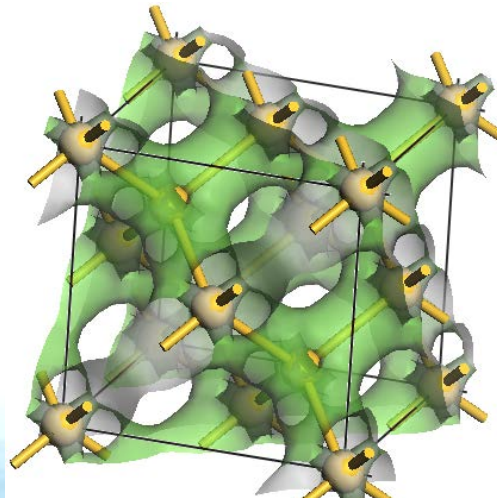
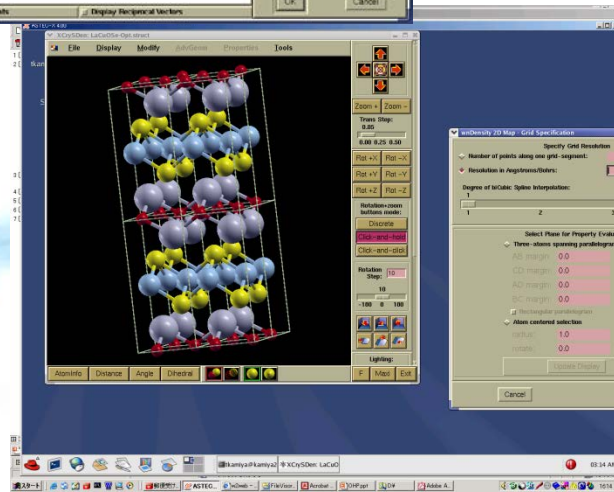
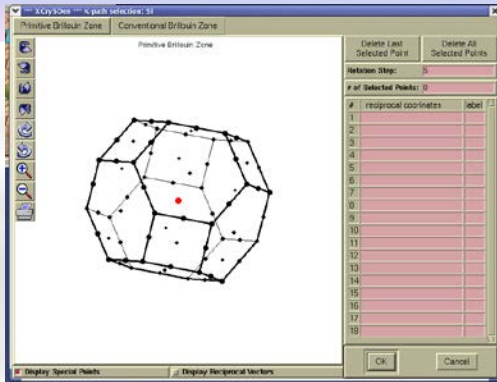


計算材料科学特論

神谷利夫



講義予定

神谷担当講義資料配布: <http://conf.msl.titech.ac.jp/Lecture/>

- 6月12日 神谷1 (コンピュータの原理)
- 6月15日 神谷2 (数値微分・積分)
- 6月19日 神谷3 (常微分方程式、分子動力学法、補間、平滑化)
- 6月22日 神谷4 (平滑化、線形最小自乗、最適化、方程式の数値解)
- 6月26日 神谷5 (非線形最小自乗、Fourier変換)
- 6月29日 笹川1 (量子論おさらい1)
- 7月 3日 若井1 (微構造形成への応用、Monte Carlo法その1)
- 7月 6日 笹川2 (量子論おさらい2)
- 7月10日 若井2 (微構造形成への応用、Monte Carlo法その2)
- 7月13日 笹川3 (第一原理計算:基礎)
- 7月17日 若井3 (微構造形成への応用、Phase Field法)
- 7月20日 笹川4 (第一原理計算:応用1)
- 7月24日 若井4 (有限要素法その1)
- 7月27日 笹川5 (第一原理計算:応用2)
- 7月31日 若井5 (有限要素法その2)
- 8月 3日 期末試験

神谷担当講義のまとめ (試験範囲)

- ・コンピュータの仕組み
コンピュータ特有の誤差と
プログラミングにおける注意点
 - ・数値微分・積分
差分法の考え方と簡単な計算
 - ・微分方程式の解法
Euler法、Verlet法、Runge-kutta法の特徴
二階微分方程式の解き方
 - ・方程式の解法
二分法、Newton法の考え方、特徴
 - ・最小二乗法
線形最小二乗法の特徴
非線形最小化問題の解き方の
概略、問題点・注意点
 - ・平滑化
平滑化の考え方、利点と
問題点・注意点
 - ・フーリエ変換
フーリエ変換の特徴と問題点
 - ・ある実験データが与えられた時、
どのような方法でデータ処理、
解析ができるか
 - ・自分の研究で、どのような
目的で、どのような数値解析を
使えるか
- 試験対象外
- ・自己無動着法
 - ~~・Monte Carlo法~~
 - ~~・KK変換~~
 - ~~・行列問題の解法~~

超越方程式の解法

Newton-Raphson法

$f(x) = 0$ の解を求める

$$f(x_0 + dx) = f(x_0) + dx f'(x_0) \sim 0$$

$$\Rightarrow x_1 = x_0 + dx = x_0 - f(x_0) / f'(x_0)$$

計算では $f'(x_0)$ を差分計算で置き換えられる

割線法 (セカント法、はさみうち法):

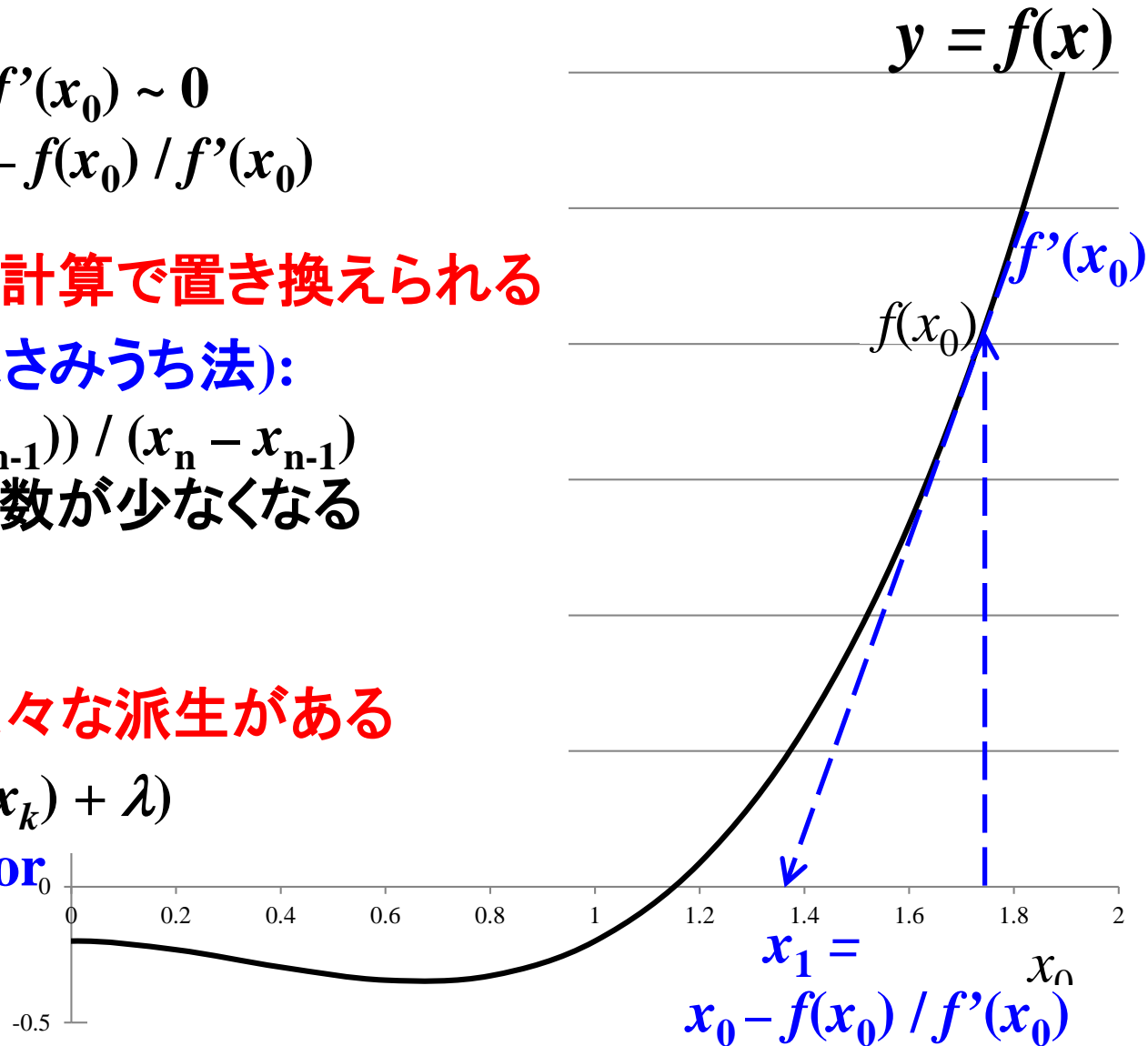
$$f'(x) = (f(x_n) - f(x_{n-1})) / (x_n - x_{n-1})$$

を使う。 $f(x)$ の計算回数が少なくなる

発散を抑える工夫で様々な派生がある

$$x_{k+1} = x_k - f(x_k) / (f'(x_k) + \lambda)$$

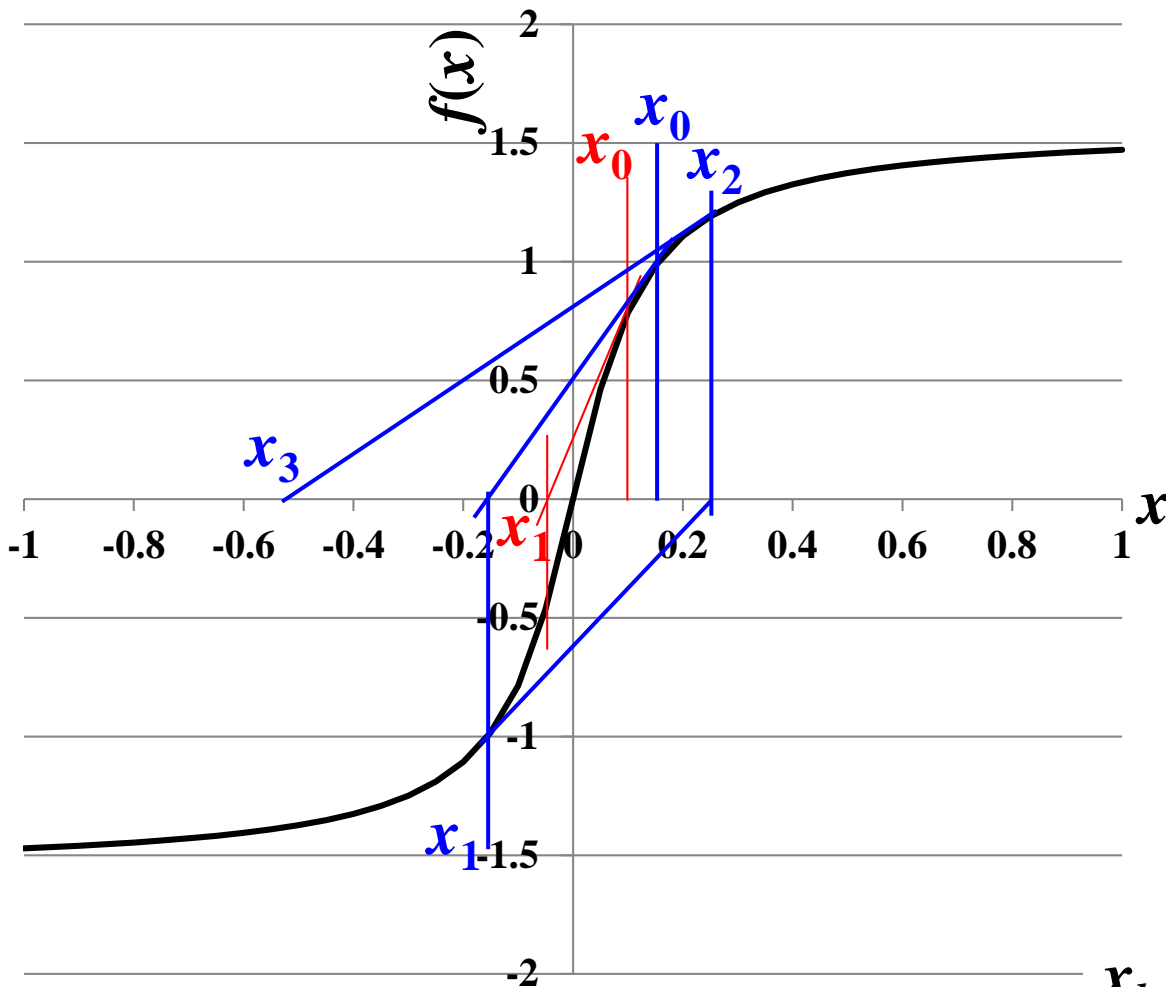
λ : Dumping Factor



Newton法が難しい例

$$f(x) = \tan^{-1}(10x)$$

初期値 $x = 0.15$



発散する場合 ($\lambda = 0$)

i	x	f(x)	df/dx	dx
0	0.15	0.98279	3.07692	-0.3194
1	-0.16941	-1.0375	2.58404	0.40152
2	0.232112	1.164	1.56553	-0.7435
3	-0.51141	-1.3777	0.36827	3.74095
4	3.229546	1.53984	0.00958	-160.76
5	-157.529	-1.5702	4E-06	389644
6	389486.7	1.5708	1.1E-12	-1E+12

ダンピングファクターで
収束を安定化 ($\lambda = 1$)

i	x	f(x)	df/dx	dx
0	0.15	0.98279	3.07692	-0.2411
1	-0.09106	-0.7387	5.46675	0.11422
2	0.023161	0.2276	9.49088	-0.0217
3	0.001466	0.01466	9.99785	-0.0013
4	0.000133	0.00133	9.99998	-0.0001
5	1.21E-05	0.00012	10	-1E-05
6	1.1E-06	1.1E-05	10	-1E-06
7	1E-07	1E-06	10	-9E-08
8	9.09E-09	9.1E-08	10	-8E-09
9	8.27E-10	8.3E-09	10	-8E-10

$$x_{k+1} = x_k - f(x_k) / (f'(x_k) + \lambda)$$

λ : Damping Factor

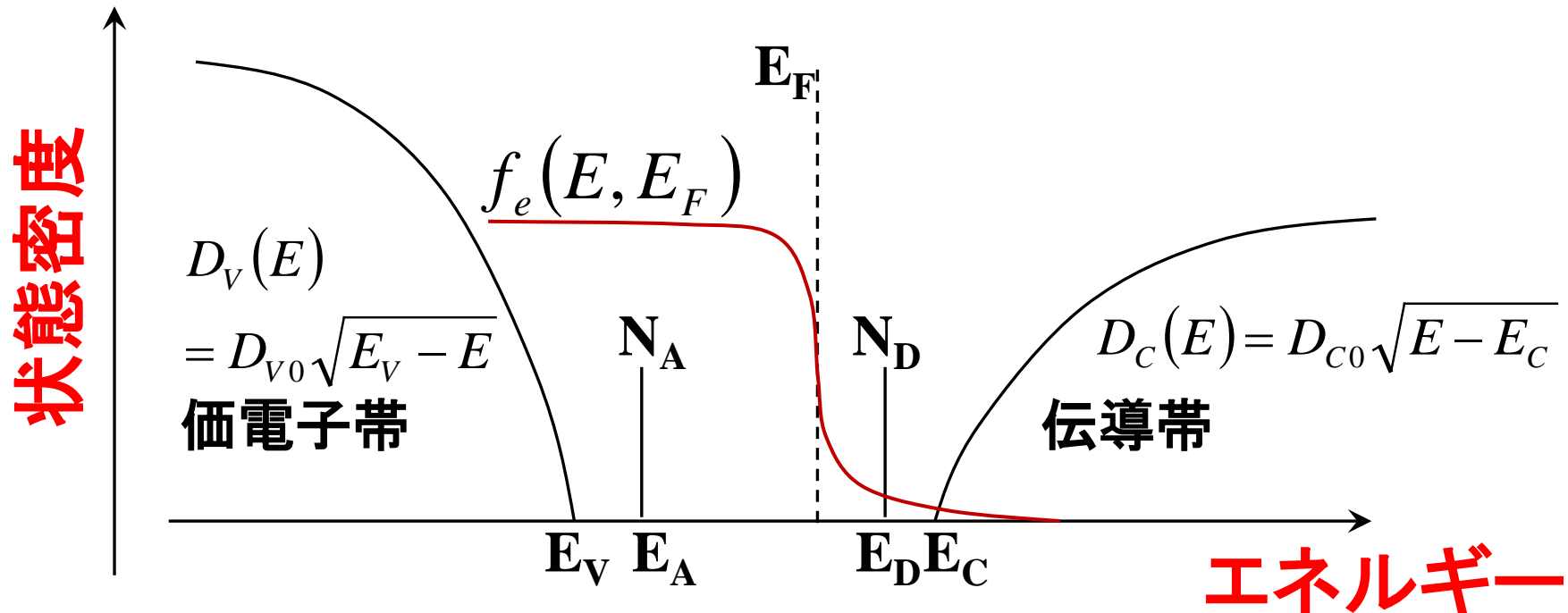
半導体統計: 熱平衡状態での計算手順

1. パラメータ(m_e^*)を決める
2. 関連する定数(N_c, D_{c0} など)を計算する
3. 状態密度 $D(E)$ を計算する
4. 0Kで中性の状態を考え、考えているエネルギー範囲での電子数 N_e を計算する (電荷中性条件)。
5. E_F が場所によらないとして、バンド図を描く。
CBM, VBMのエネルギー $E_{\text{CBM}}(x), E_{\text{VBM}}(x)$ が決めるべきパラメータ。
6. $E_{\text{CBM}}(x), E_{\text{VBM}}(x)$ から過剰電荷密度
$$\rho_e(x) = N_c \exp(-(E_{\text{CBM}}(x) - E_F) / k_B T)$$
$$\rho_h(x) = N_v \exp(-(E_F - E_{\text{VBM}}(x)) / k_B T)$$
を計算する。

7. Poissonの方程式

$$d^2 E_{\text{CBM}}(x) / dx^2 = e(-\rho_e(x) + \rho_h(x) + N_D^+(x) - N_A^-(x)) / \epsilon$$
を満足するように、5, 6 を自己無撞着に解く。

半導体中のフェルミ準位を求める



電荷中性条件

$$N_A^- + N_e = N_D^+ + N_h \quad \longrightarrow \quad E_F$$

$$N_e = \int_{E_C}^{\infty} D_C(E) f_e(E, E_F) dE$$

$$N_D^+ = N_D [1 - f_e(E_D, E_F)]$$

フェルミ準位: 価電子帯、アクセプターを無視できる場合

$$f_e(E, E_F) = \frac{1}{1 + \exp[(E - E_F) / k_B T]}$$

$$D_e(E) = \frac{\sqrt{2}}{\pi^2} \frac{m_{de}^{3/2}}{\hbar^3} \sqrt{E - E_C}$$

$$E_C - E_F, E_D - E_F, \gg k_B T$$

$$N_e = \int_{E_C}^{\infty} D(E) f_e(E) dE \sim N_C \exp(-(E_C - E_F) / k_B T)$$

$$N_D^+ = N_D [1 - f_e(E_D, E_F)] \sim N_D \exp((E_D - E_F) / k_B T)$$

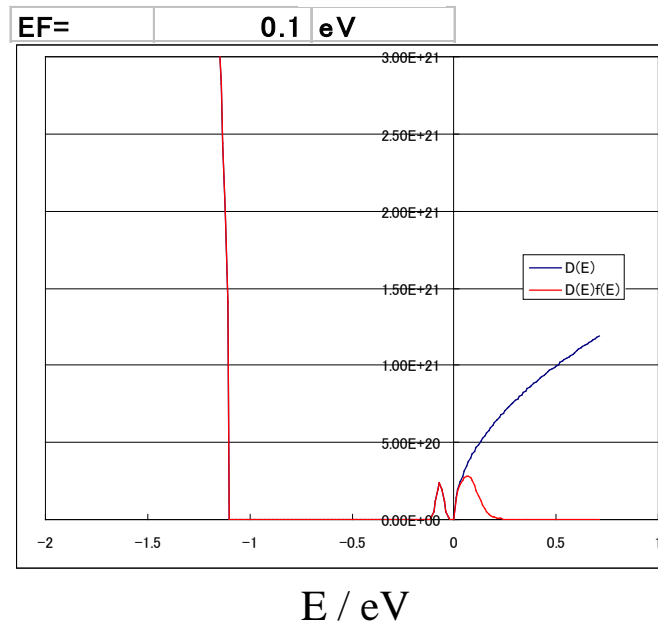
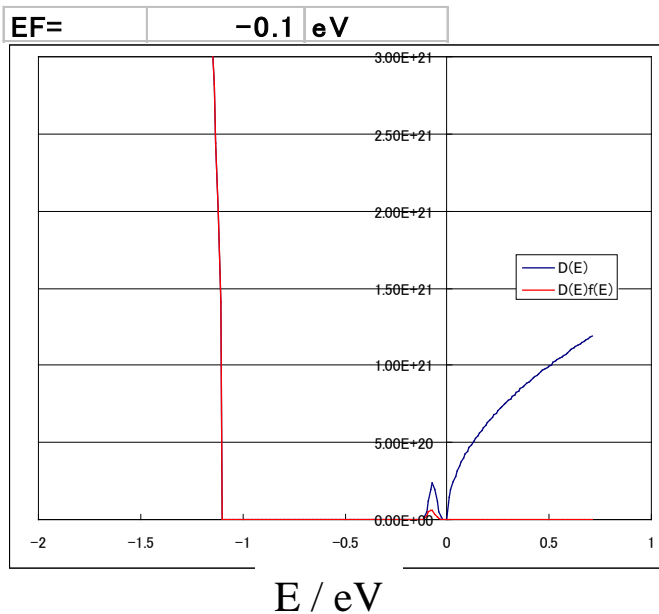
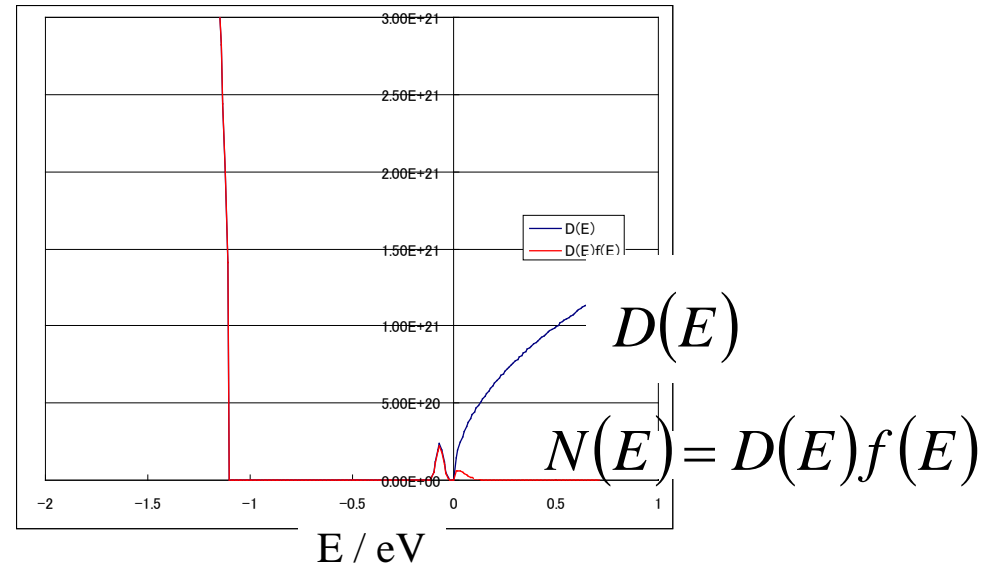
$$N_e = N_D^+$$

$$\exp(2E_F / k_B T) = N_D / N_C \exp((E_C + E_D) / k_B T)$$

$$E_F = \frac{E_C + E_D}{2} + \frac{k_B T}{2} \log(N_D / N_C)$$

どうやってフェルミ準位を求めるか？

T=	300 K
EF=	0 eV
Nc=	5.20E+18 cm ⁻³
Dc=	1.41E+21
Ec=	0 eV
Nv=	5196000000 cm ⁻³
Dv=	1.41E+22
Ev=	-1.1 eV
ED=	-7.00E-02 eV
ND=	1.00E+19 cm ⁻³
WD=	2.00E-02 eV
a2=	1.73E+03
AD=	2.35E+20



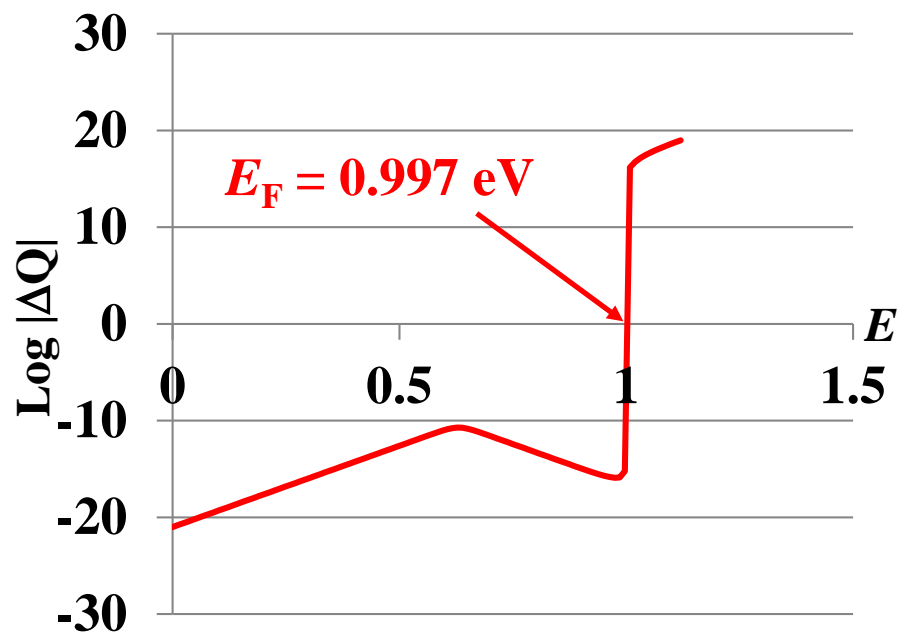
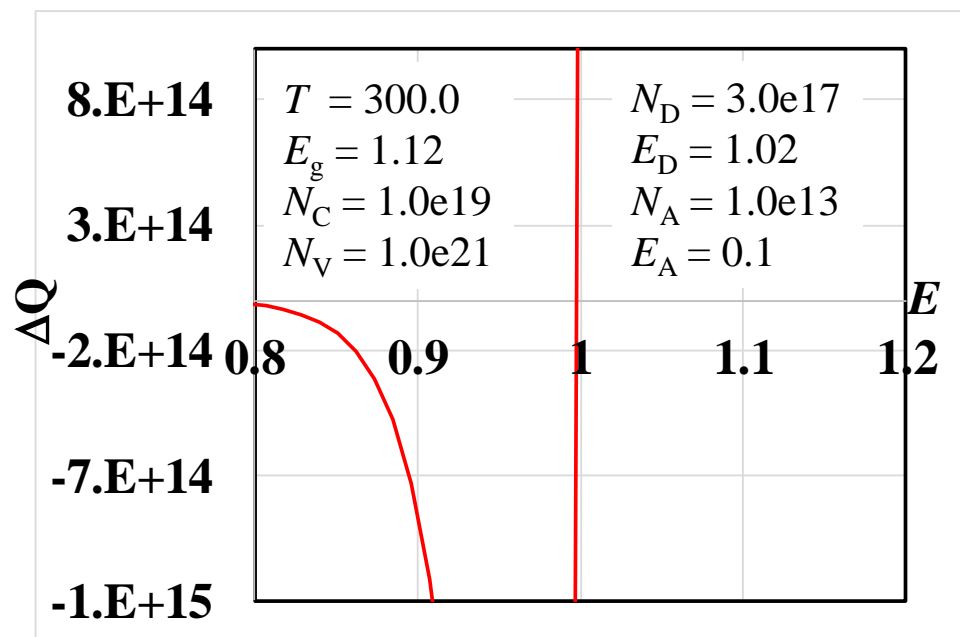
フェルミ準位の求め方: 図解

$$N_e = \int_{E_C}^{\infty} D_C(E) f_e(E, E_F) dE \quad N_h = \int_{E_C}^{\infty} D_V(E) f_h(E, E_F) dE$$

$$N_D^+ = N_D [1 - f_e(E_D, E_F)] \quad N_A^- = N_A [1 - f_h(E_A, E_F)]$$

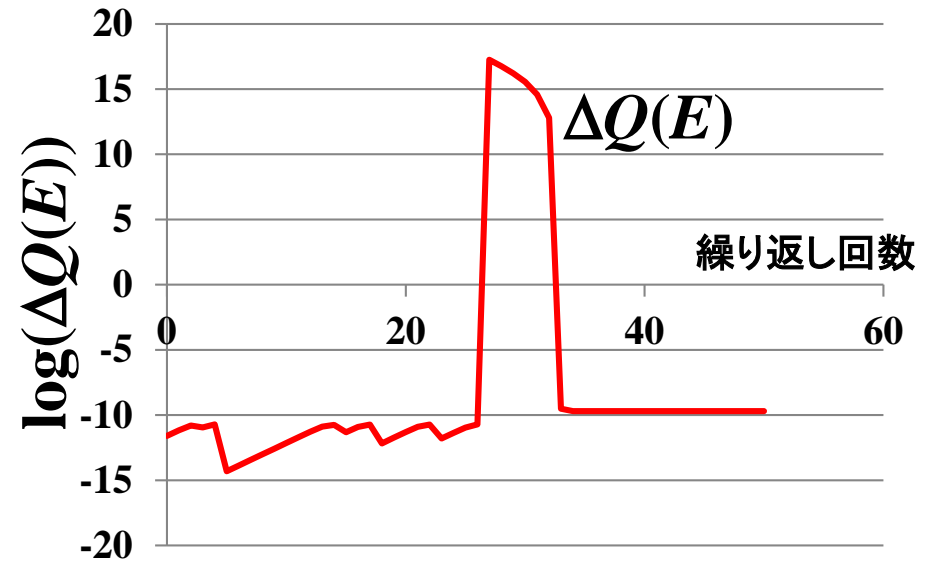
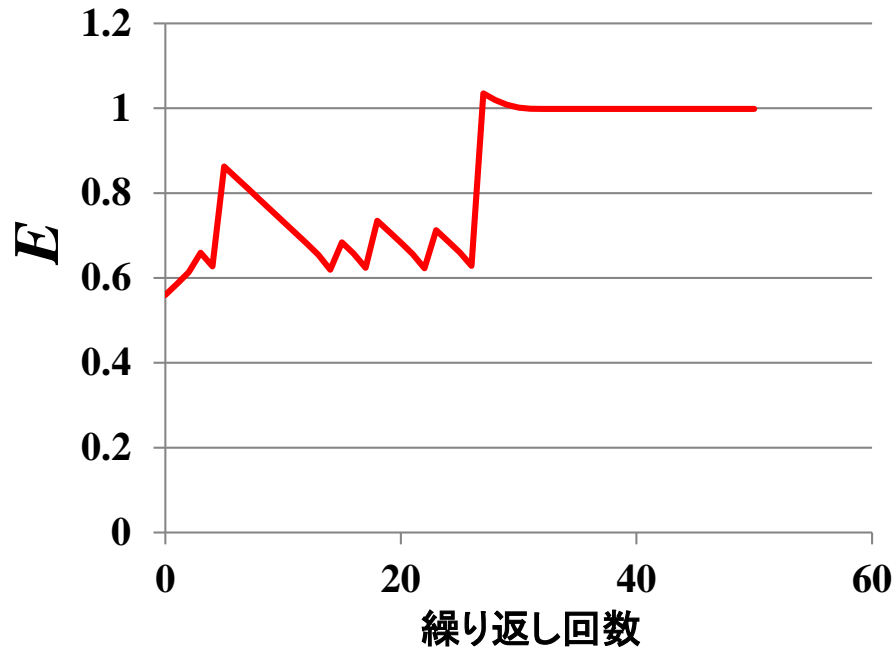
$$f_h(E, E_F) = 1 - f_e(E, E_F)$$

$\Delta Q = (N_A^- + N_e) - (N_D^+ + N_h)$ を E_F に対してプロットし、ゼロ点を求める



フェルミ準位の求め方: Newton-Raphson法

$E_0 = (E_V + E_C) / 2.0$ を初期値にし、
 $\Delta Q = (N_{A^-} + N_e) - (N_{D^+} + N_h)$ のゼロ点を求める



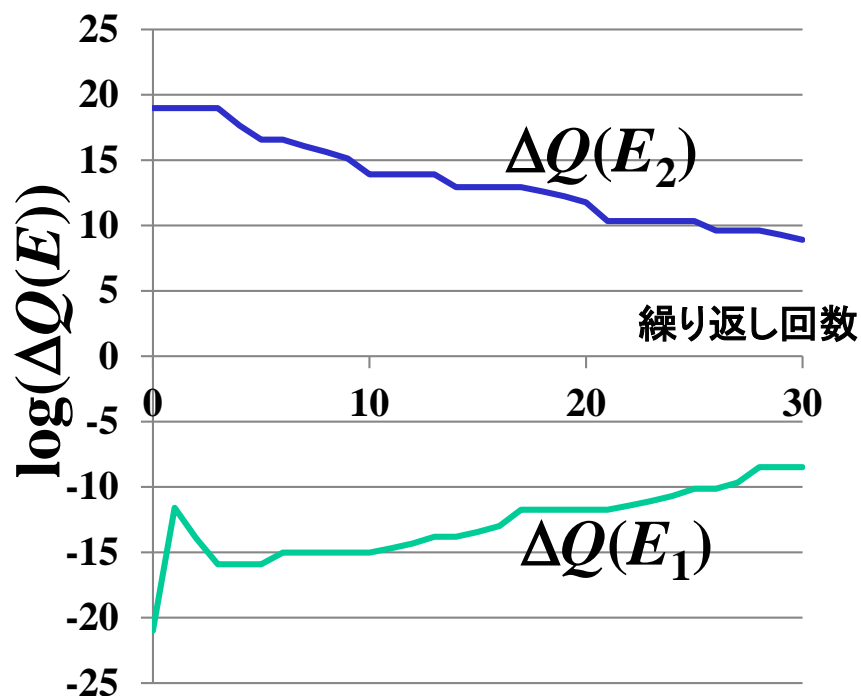
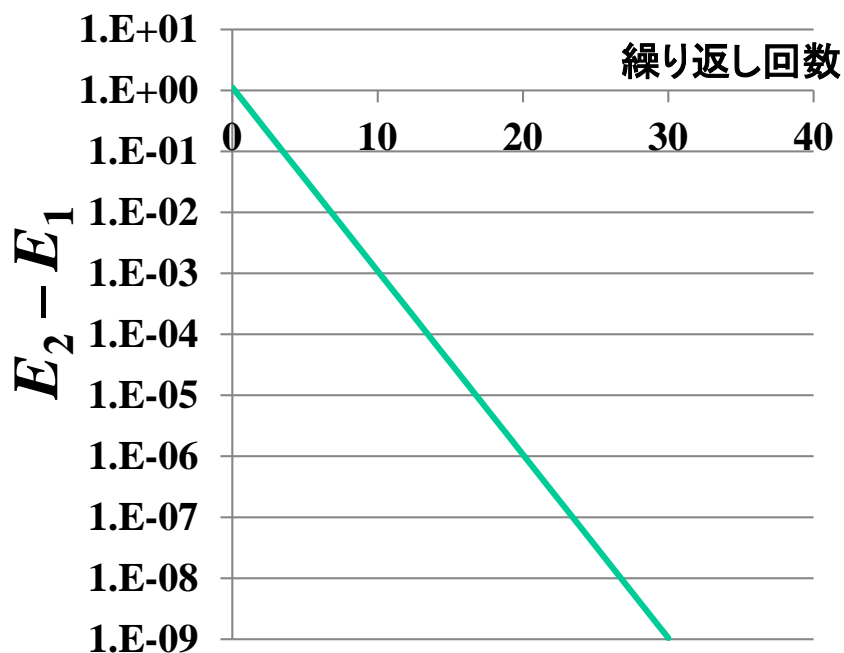
30回の繰り返し計算後

$$E_F = 0.998517354556472$$

$$dQ = -5 \times 10^9$$

フェルミ準位の求め方: 二分法の収束過程

$[E_1, E_2] = [E_V = 0, E_C = E_g]$ を初期値にし、
 $\Delta Q = (N_A^- + N_e) - (N_D^+ + N_h)$ のゼロ点を求める



30回の繰り返し計算後

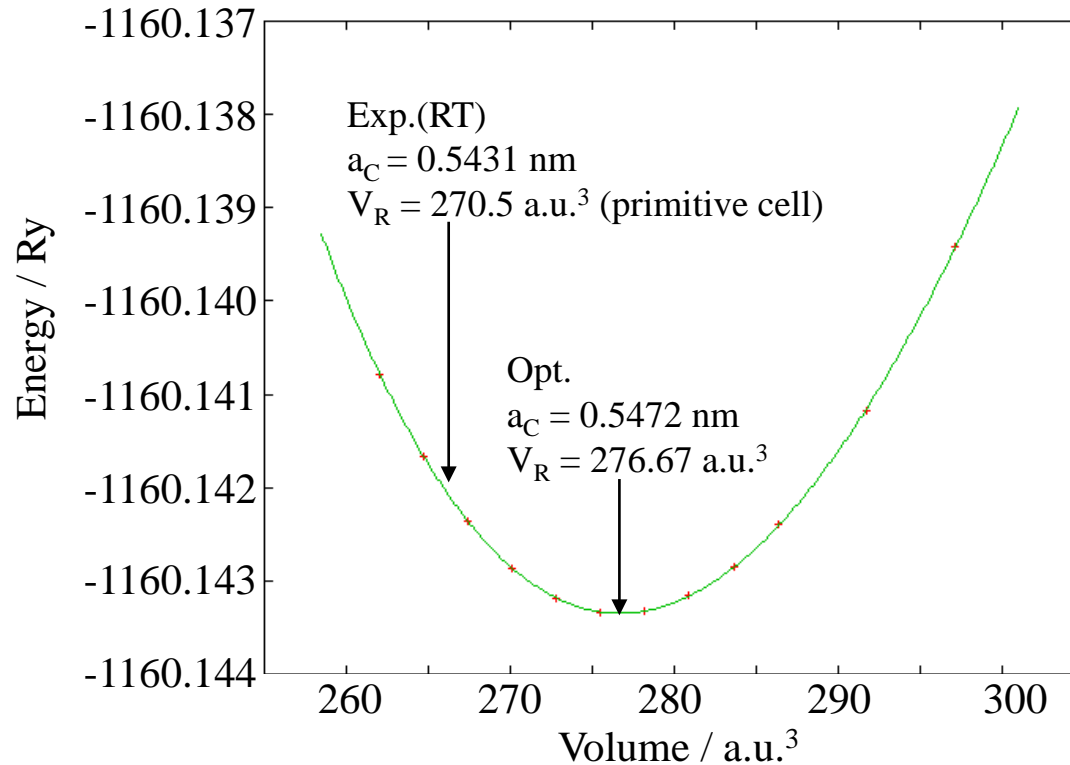
$$E_F = [0.9985173589, 0.9985173599]$$

$$dQ = [-3 \times 10^8, 8 \times 10^8]$$

非線形多変数方程式

非線形最小化問題: 図解で安定構造を求める

第一原理計算で、格子定数を変えながら全エネルギーを計算する
例: Si



$$E = E_{\min} + 1/2 B_0 (V / V_0)^2$$

$$B_0 \text{ (GPa)} = 87.57 \text{ GPa (exp: 97.88 GPa)}$$

分光解析に使われるプロファイルモデル

Lorentz関数

$$I_L(x) = \frac{1}{1 + [(x - x_0)/w]^2} \quad w: \text{半値半幅}$$

Gauss関数

$$I_G(x) = \frac{1}{a_w w \pi^{1/2}} \exp\left\{-\left[\frac{(x - x_0)}{a_w w}\right]^2\right\}$$

$a_w = (\ln 2)^{-1/2} = 0.832554611$

Voigt関数:

Lotenz型の固有スペクトルに
他の要因のGauss型の広がり重なる
畳み込み積分 (Convolution) であらわされる

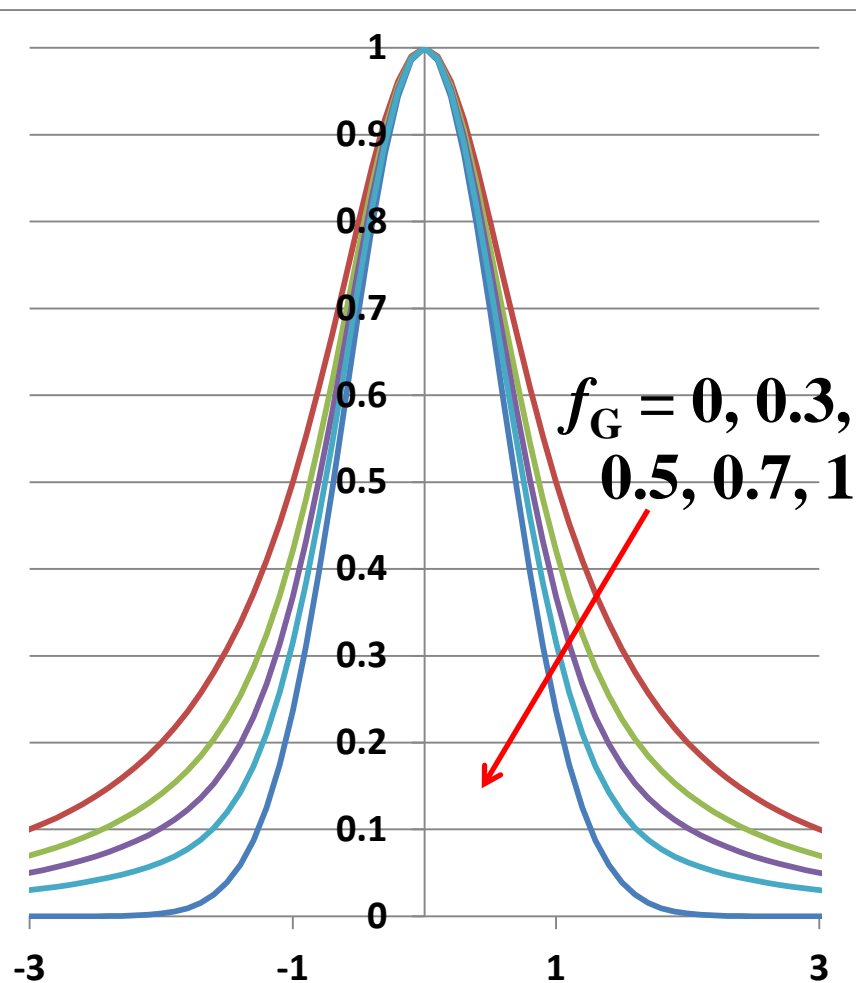
$$I_V(x) = \int_{-\infty}^{\infty} I_G(x') I_L(x - x') dx'$$
$$= \frac{a_V}{\pi} \int_{-\infty}^{\infty} \frac{\exp(-x'^2)}{a_V^2 + (x - x')^2} dx'$$

Pseudo-Voigt関数:

Voigt関数の簡略版

$$I_{PV}(x) = f_G I_G(x) + (1 - f_G) I_L(x)$$

f_G : Gauss関数分率



多変数のNewton-Raphson法

多変数への拡張: 最小化関数 $F(x_l)$ の最小値を求める

$$f_k(x_l) = \partial F(x_l) / \partial x_k = 0$$

繰り返し計算: $f_k(x_l + \delta x_l) \sim f_k(x_l) + \sum_{k'} \delta x_{k'} \partial f_k(x_l) / \partial x_{k'} = 0$

$$x_{l,1} = x_{l,0} - (\partial f_k(x_l) / \partial x_{k'})^{-1} (f_k) = x_{l,0} - (F''_{kk'})^{-1} (F'_k)$$

$$F''_{kk'} = \frac{\partial^2 F(\mathbf{x})}{\partial x_k \partial x_{k'}}$$

Hessian (ヘッセ) 行列

(ヘッセ行列の固有値をヘッシアンと呼ぶ)

Hessian行列は正定値であるとは限らない (極大値、鞍点)

$\Rightarrow F''$ が降下方向を与えるとは限らない

F'' を正定値行列で置き換え、発散を抑える

$$x_{l,1} = x_{l,0} - (F''_{kk'} + \lambda I)^{-1} (F'_k)$$

λ : Dumping Factor

最急降下法 (Steepest Descend) 法

矢部博, 工学基礎 最適化とその応用, 数理工学社 (2006)

残差関数の傾きのみから最小値を探索する。勾配法としては最も単純。

- SD法: ベクトル $-(df/dx_i)dx_i$ 方向へ進めば S^2 は小さくなる

$$x_i^{(i+1)} = x_i^{(i)} - \alpha(df/dx_i)$$

α は適当に決める。

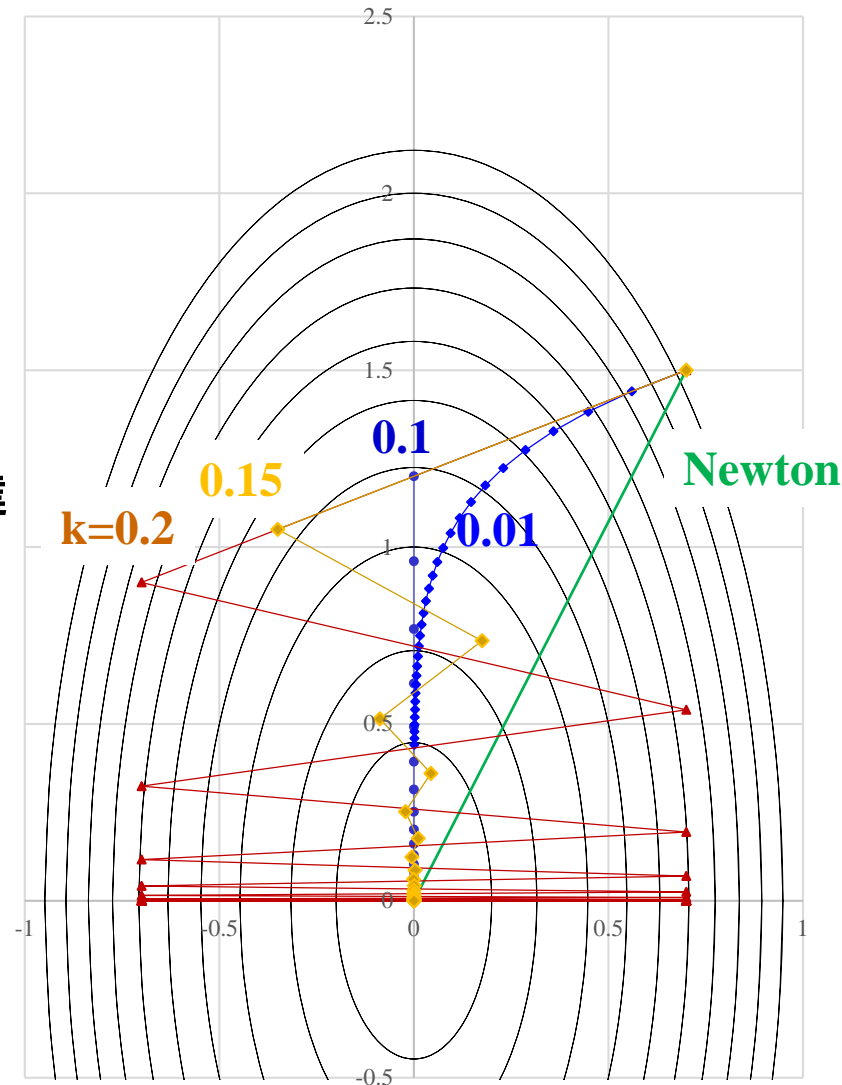
右の例:

$$S^2 = f(x_i) = 5x_1^2 + x_2^2, \text{ 初期値 } x_1 = 0.7, x_2 = 1.5$$

- Newton法:
楕円問題の場合は一度目の計算で最適値に到達

- SD法:
 $\alpha = 0.3$: 発散 (グラフにプロットしていない)
0.2, 0.15: 振動しながら収束
0.1: 最初の1度目で x の最適値に到達
0.01: 振動せず、緩やかに収束

「 S^2 が大きく非対称な場合、最急勾配方向は
最小値方向とは大きく異なることがある」
=> 共役勾配法

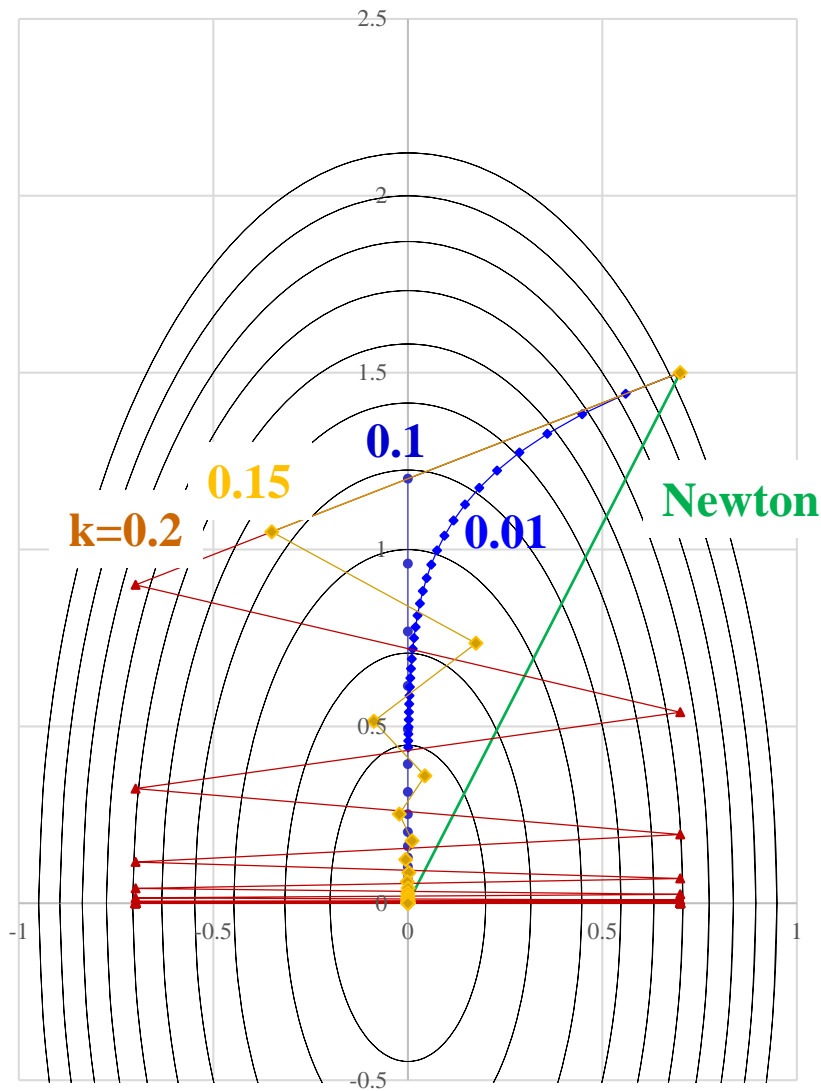


最急降下法 (Steepest Descend) 法

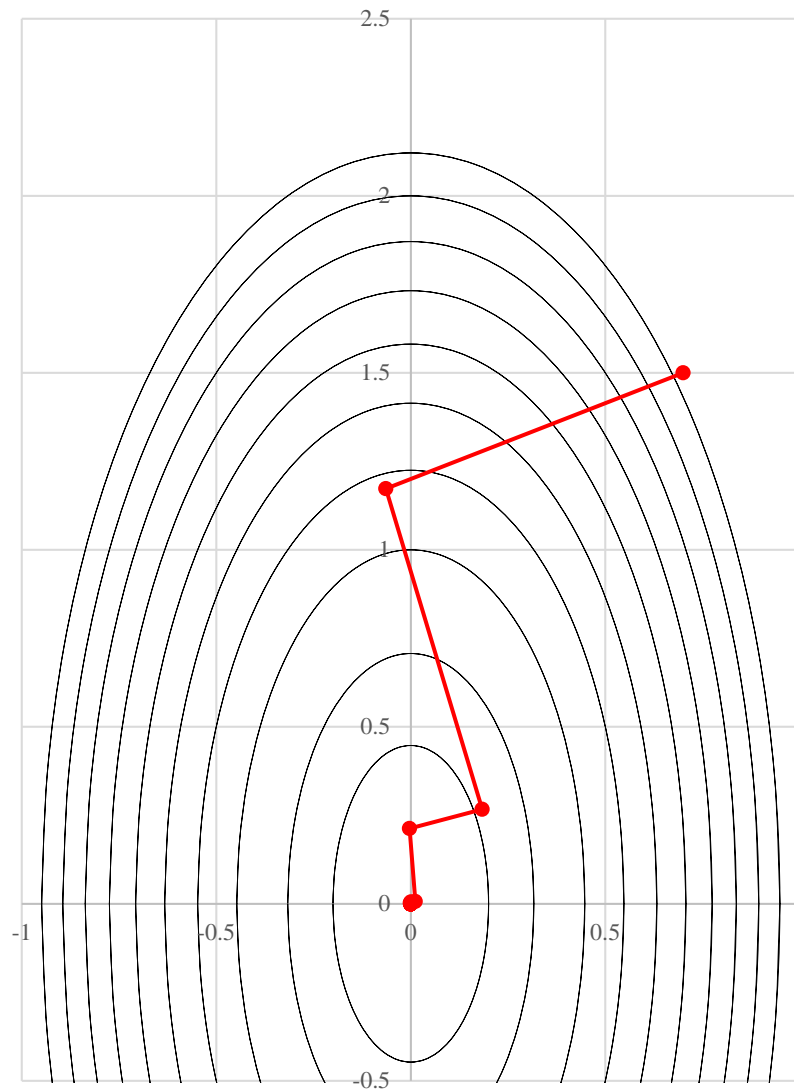
矢部博, 工学基礎 最適化とその応用, 数理工学社 (2006)

効率的な方法: 各ステップの α を直接探索法で決定する

直接探索を行わない場合



直接探索を行う場合



Deep LearningのSD法

- 全Batchデータを Mini batchに分割し、各Mini batchでSD法を実行する。

右の例:

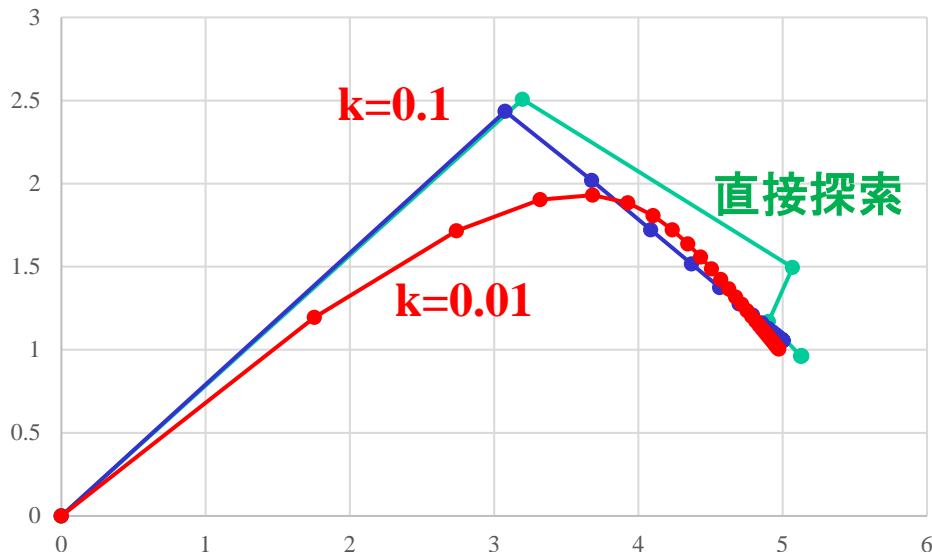
$$S^2 = f(x_i) = ax_1^2 + bx_2^2$$

$a = 5, b = 1$ とし、乱数で1000個のデータを発生

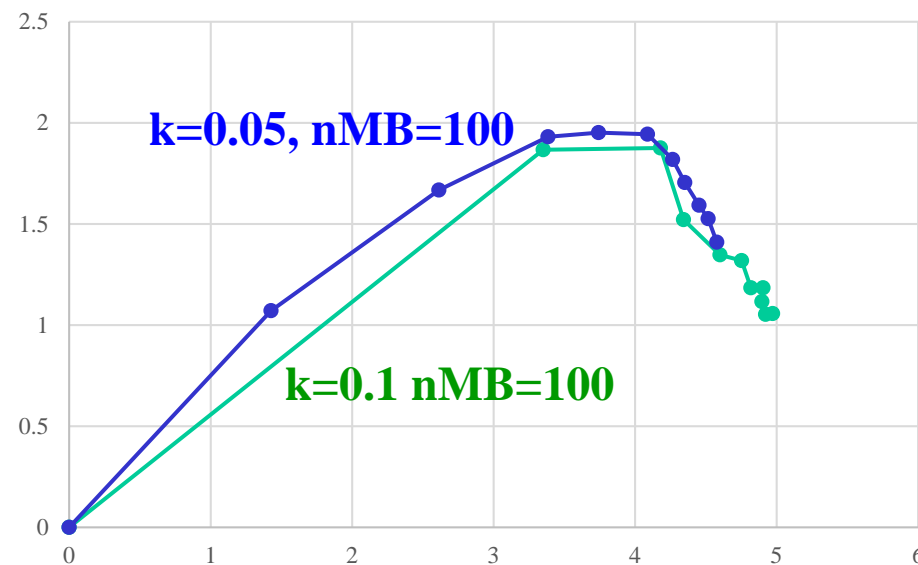
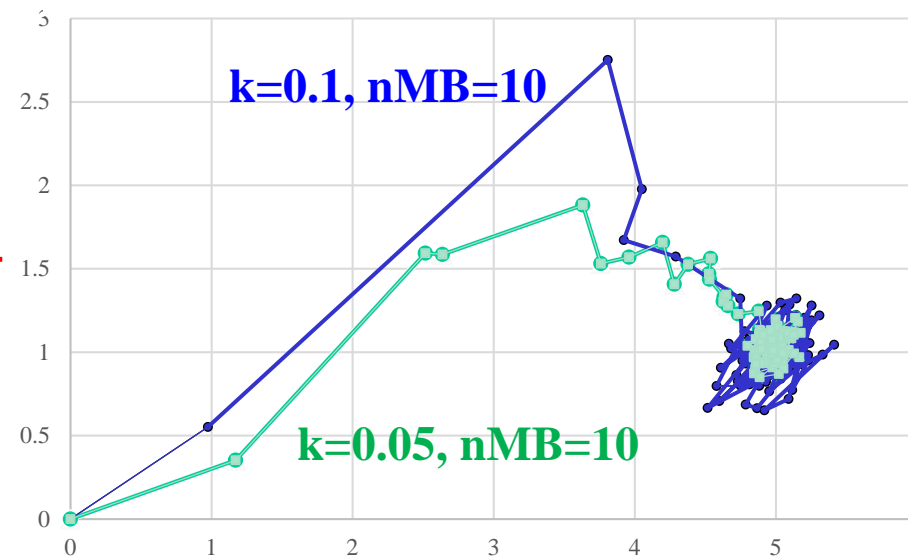
注: データは毎回作り直し

初期値 $a = 0, b = 0$

SD法 (全Batchデータを繰り返して計算)



DL: SD法



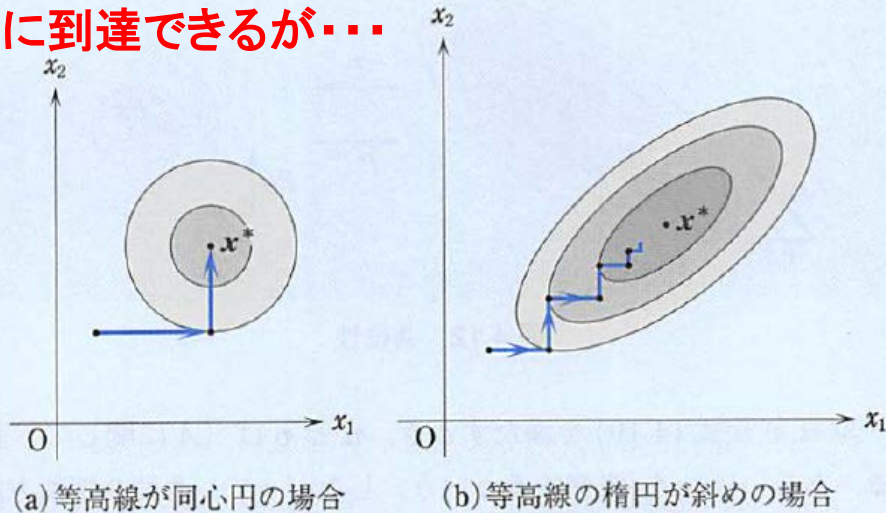
共役勾配 (Conjugate Gradient) 法

矢部博, 工学基礎 最適化とその応用, 数理工学社 (2006)

行列 A に対してベクトル u, v が $u^T A v = 0$ であるとき、 u と v は互いに共役の関係にあるという

- 共役な探索方向に沿って正確な直線探索を実行していけば、有限回の反復で2次関数の最小解に到達することが期待される

等高線が円の場合、一回の探索で最小値に到達できるが...



- 初期値 x_0 を与える
- 初期探索方向 d を再急降下方向にとる

$$d = -\nabla f$$

- 直接探索法に従って α_k を決め、

$$x_{k+1} = x_k + \alpha_k d_k$$

を計算する

- 探索方向を

$$d_k = d_{k-1} - \frac{d_{k-1} \cdot \nabla f(x_k)}{d_{k-1} \cdot d_{k-1}} \nabla f(x_k)$$

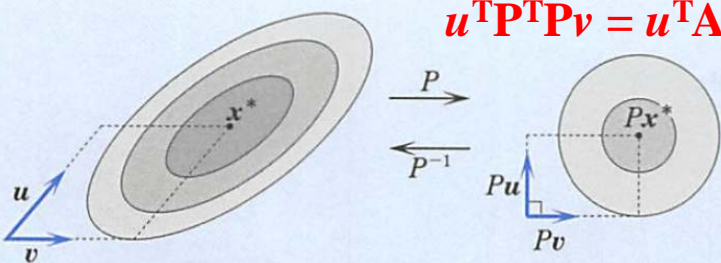
に更新する

- 3,4を繰り返して収束させる

4.では、 d_k は d_i ($i = 1, \dots, k-1$) のすべてに直交するため、このループは有限回しか実行できない => 時々 d_k をリセット

共役なベクトルと楕円-円変換

$$u^T P^T P v = u^T A v = 0$$



Marquart法

N 個の変数 x_i をもつ m 個の関数 $f_j(x_i)$ の自乗和

$$F(x_i) = \sum_{j=1}^m f_j(x_i)^2$$

の最小値(最大値)を求める

$$f_j(x_i + \delta x_i) \sim f_j(x_i) + \left(\frac{\partial f_j}{\partial x_k} \right) (\delta x_i) = f_j(x_i) + \mathbf{A} \delta x_i \quad A_{jk} = \frac{\partial f_j}{\partial x_k}$$

と近似すると、

$$F(x_i + \delta x_i) \sim F(x_i)^2 + 2 \sum_{j,k} f_j A_{jk} \delta x_k + \sum_{j,k,k'} A_{jk} A_{ik'} \delta x_k \delta x_{k'}$$

$$\frac{\partial F(x_i)}{\partial \delta x_k} \sim 2 \sum_j (f_j A_{jk} + A_{jk} A_{jk} \delta x_j) = 0$$

$$\delta x = -(\mathbf{A}^t \mathbf{A})^{-1} \mathbf{A}^t (f_j) \quad \text{Gauss-Newton法}$$

Levenberg-Marquart法

$$\delta x = -(\mathbf{A}^t \mathbf{A} + \lambda I)^{-1} \mathbf{A}^t (f_j) \quad \lambda \text{の最適値がよくわからない}$$

$$\delta x = -(\mathbf{A}^t \mathbf{A} + \lambda \text{diag}(\mathbf{A}^t \mathbf{A}))^{-1} \mathbf{A}^t (f_j) \quad \mathbf{A} \text{行列の対角和に比例させる}$$

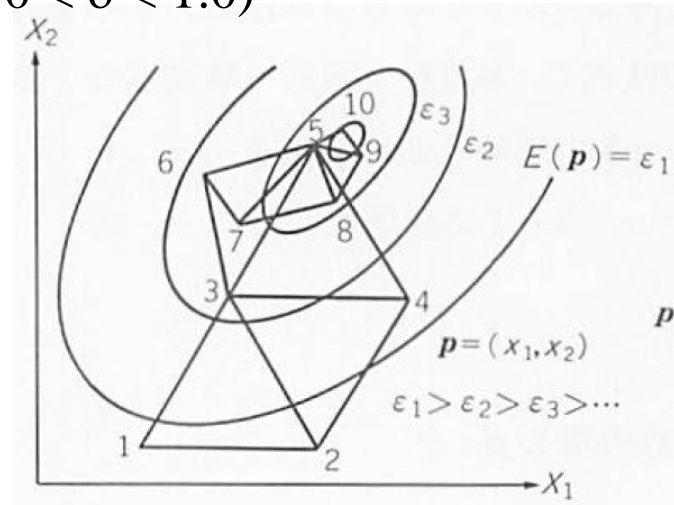
単体 (Simplex) 法 (Amoeba法)

南茂夫 編著、科学計測のための波形データ処理、CQ出版 (1986年)

単体 (Simplex): n 次元空間で $(n+1)$ 個の頂点を作る図形

$F(x_i)$ の最小値を求める

1. $(n+1)$ 個の初期値で頂点 $F(x_i)$ ($i = 1, 2, \dots, n+1$) を
 $F(x_i) > F(x_{i'})$ ($i < i'$) となるように並べ替える
2. 最大値を取る頂点 x_i 以外が作る重心を $x_G = \sum_{i=2}^{n+1} x_i / n$ とする
3. 直線 $x_1 - x_G$ 上で新しい点を次の順に求めて F を計算する
 - (i) 鏡映 : $x_R = x_1 + \alpha(x_G - x_1)$ (たとえば $\alpha = 2$)
 - (ii) 拡大 : $x_E = x_1 + \beta(x_G - x_1)$ (たとえば $\beta > 2$)
 - (iii) 縮小鏡映 : $x_{CR} = x_1 + \gamma(x_G - x_1)$ (たとえば $1.0 < \gamma < 2.0$)
 - (iv) 縮小 : $x_{CW} = x_1 + \delta(x_G - x_1)$ (たとえば $0 < \delta < 1.0$)
4. (i)~(iv)のうちで最初に $F(x) < F(x_1)$ を満たす点を x_1 と交換する。
この操作を繰り返す



単体(Simplex)法

渡部 他 監修, Fortran 77による 数値計算ソフトウェア、丸善 (平成元年)

単体 (Simplex): n 次元空間で $(n+1)$ 個の頂点を作る図形

$F(x_i)$ の最小値を求める

- ・ 適当な複数の初期値の組 x_1, x_2, \dots, x_{n+1} が作る超多面体から出発
- ・ 多面体を小さくしながら $F(x_i)$ を小さくするように頂点を変える

1. $F(x_i)$ の最大値を与える頂点を x_h , 2番目の最大値の頂点を x_0 ,

最小値を与える頂点を x_1 , 図心を $x_0 = \left(\sum x_i - x_h \right) / n$ とする。

2. 次の操作を行う

- ・ 鏡映: x_0 の x_h の反対側に最小値があると期待する

$$x_r = (1+\alpha) x_0 - \alpha x_h \quad (\text{たとえば } \alpha = 1)$$

- ・ 拡張: x_0 から x_r の方向に、さらに x_r を超える

$$x_e = \gamma x_r + (1+\gamma) x_0 \quad (\text{たとえば } \gamma = 2)$$

- ・ 収縮: x_0 から x_h の方向 (単体の内側)

$$x_c = \beta x_r + (1-\beta) x_0 \quad (\text{たとえば } \beta = 0.5)$$

- ・ 縮小: 単体を x_1 の方向へ収縮

$$x_i' = (x_i + x_1) / 2 \quad (i = 1, 2, \dots, n+1)$$

3. 以上の操作でできた頂点で x_h , 頂点を置き換えていく

非線形最小化問題の解法

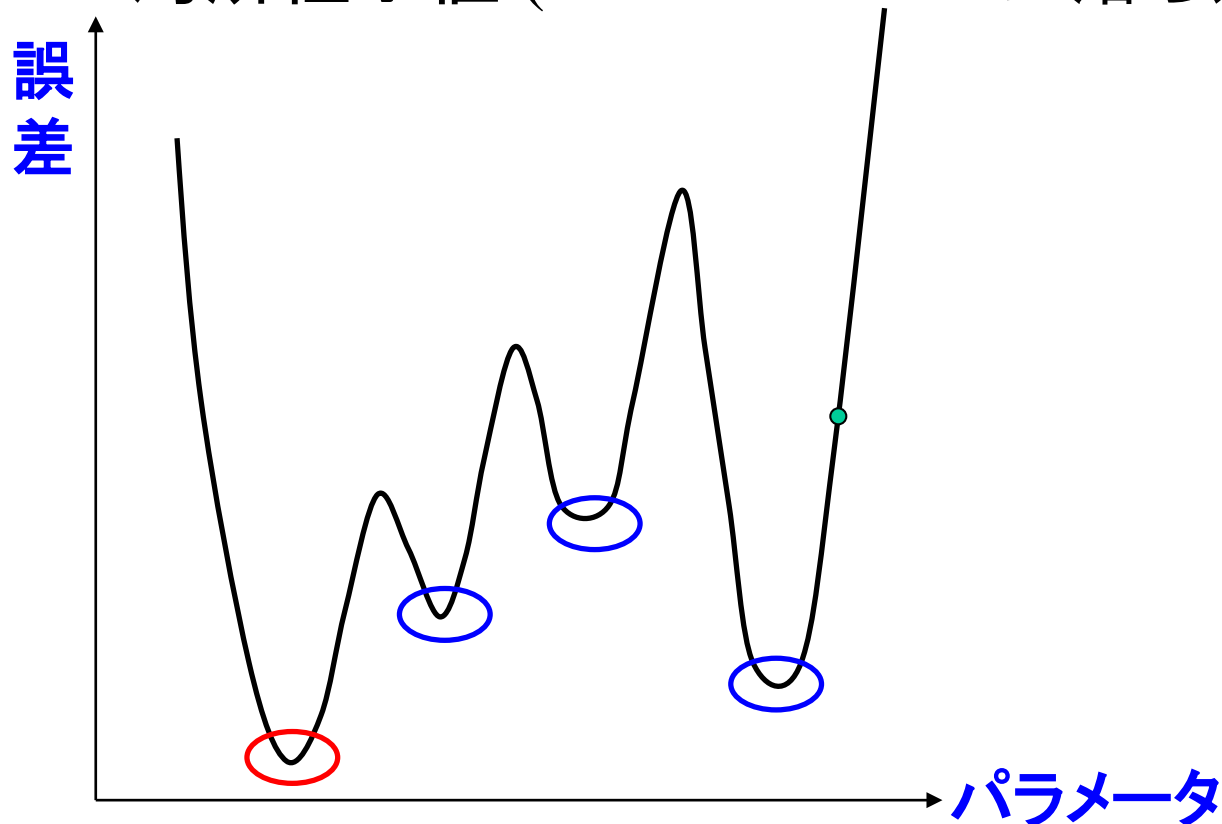
$F(x)$ の最小値(最大値)を求める

- **Newton-Raphson法:**
二次微分行列を使って最小値を探索
- **最急降下法 (Steepest Descent):**
一次微分から傾きの方向のみで最小値を探索
- **共役勾配 (Conjugate Gradient) 法:**
変数の変位ベクトルの共役方向へ最小値を探索
- **Marquart法**
 $f_j(x_i)$ の一次微分の行列を使って最小値を探索
- **単体 (Simplex) 法 (Amoeba法)**
一定のルールに従い、試行錯誤で最小値を探索

非線形 (多値) 方程式の注意

- ・ 解が複数ある場合も
- ・ ほとんどの場合、1度の計算で最適解を求めることは無理
 - ・ 収束したことを確認する
 - ・ 大域最小値を求める

⇔ 局所極小値 (local minimumに落ち込む)



非線形最適化アルゴリズムの傾向

	A	B
収束速度	×	○
収束安定性	○	×
安定収束範囲	○	×
使い方	第一段階	第二段階

A: 単体 (Simplex) 法

A,B: 共役勾配法 (Conjugate Gradient: CG)

B: 最急降下法 (Steepest Descent: SD)

B: Newton-Raphson法 ・準Newton法

▪Davidson-Fletcher-Powell (DFP)

▪Broyden-Fletcher-Goldfarb-Shanno (BFGS)

フーリエ変換

Fourier変換

いくつかの定義がある

$$\left\{ \begin{array}{l} \text{Fourier変換} \\ \text{Fourier逆変換} \end{array} \right. \quad \begin{array}{l} F(\omega) = \int_{-\infty}^{\infty} f(t) \exp(i\omega t) dt \\ f(t) = \frac{1}{2\pi} \int_{-\infty}^{\infty} F(\omega) \exp(-i\omega t) d\omega \end{array}$$

$$\left\{ \begin{array}{l} \text{Fourier変換} \\ \text{Fourier逆変換} \end{array} \right. \quad \begin{array}{l} F(\omega) = \int_{-\infty}^{\infty} f(t) \exp(i2\pi ft) dt \\ f(t) = \int_{-\infty}^{\infty} F(\omega) \exp(-i2\pi ft) d\omega \end{array}$$

Fourier変換の特徴

- ・時系列データを周波数データに変換
- ・空間系列データを波数(波長)データに変換
- ・元データの原点はFTデータの全空間に拡張される
- ・元の全空間データはFTデータの原点に還元される

幅 W の Gauss関数の Fourier変換は、幅 W^{-1} の Gauss関数
Fourier変換したデータを Fourier逆変換すると元のデータに戻る

Fourier級数展開

$$x(t) = \frac{a_0}{2} + \sum_{n=1}^{\infty} \left(a_n \cos \frac{2\pi n}{T} t + b_n \sin \frac{2\pi n}{T} t \right)$$

$$a_n = \frac{2}{T} \int_0^T x(t) \cos \frac{2\pi n}{T} t dt$$

$$b_n = \frac{2}{T} \int_0^T x(t) \sin \frac{2\pi n}{T} t dt$$

$$x(t) = \sum_{n=-\infty}^{\infty} c_n \exp\left(i \frac{2\pi n}{T} t\right)$$

$$c_n = \frac{1}{T} \int_0^T x(t) \exp\left(-i \frac{2\pi n}{T} t\right) dt$$

リーマン・ルベーグの定理: $\lim_{n \rightarrow \infty} c_n = 0$

線形最小二乗法: 一般関数の場合

$$f(x) = \sum_{k=1}^n a_k f_k(x) \quad S = \sum_{i=1}^N \left(y_i - \sum_{k=1}^n a_k f_k(x_i) \right)^2$$
$$\frac{dS}{da_l} = - \sum_{i=1}^N f_l(x_i) \left(y_i - \sum_{k=1}^n a_k f_k(x_i) \right) = 0$$

$$\begin{pmatrix} \sum f_1(x_i)f_1(x_i) & \sum f_1(x_i)f_2(x_i) & \sum f_1(x_i)f_3(x_i) & \cdots & \sum f_1(x_i)f_N(x_i) \\ \sum f_2(x_i)f_1(x_i) & \sum f_2(x_i)f_2(x_i) & \sum f_2(x_i)f_3(x_i) & & \sum f_2(x_i)f_N(x_i) \\ \sum f_3(x_i)f_1(x_i) & \sum f_3(x_i)f_2(x_i) & \sum f_3(x_i)f_3(x_i) & & \sum f_3(x_i)f_N(x_i) \\ \vdots & & & \ddots & \\ \sum f_N(x_i)f_1(x_i) & \sum f_N(x_i)f_2(x_i) & \sum f_N(x_i)f_3(x_i) & & \sum f_N(x_i)f_N(x_i) \end{pmatrix} \begin{pmatrix} a_1 \\ a_2 \\ a_3 \\ \vdots \\ a_N \end{pmatrix} = \begin{pmatrix} \sum y_i f_1(x_i) \\ \sum y_i f_2(x_i) \\ \sum y_i f_3(x_i) \\ \vdots \\ \sum y_i f_N(x_i) \end{pmatrix}$$

正弦・余弦級数展開の場合

$$f_i(x) = \cos 2\pi f_i x \quad (i \text{ が奇数})$$

$$f_i(x) = \sin 2\pi f_i x \quad (i \text{ が偶数})$$

Fourier変換 (FT)

Fourier級数展開で $T \Rightarrow \infty$ を考える

$$\left\{ \begin{array}{l} \text{Fourier変換} \\ \text{Fourier逆変換} \end{array} \right. \quad \begin{array}{l} X(f) = \int_{-\infty}^{\infty} x(t) \exp(-2\pi f t) dt \\ x(t) = \int_{-\infty}^{\infty} X(f) \exp(i2\pi f t) df \end{array}$$

Fourier変換の特徴

- ・時系列データを周波数データに変換
- ・空間系列データを波数(波長)データに変換
- ・元データの原点はFTデータの全空間に拡張される
- ・元の全空間データはFTデータの原点に還元される

幅 W のGauss関数のFourier変換は、幅 W^{-1} のGauss関数
Fourier変換したデータをFourier逆変換すると元のデータに戻る

離散フーリエ変換 (DFT)

$x(t)$ は $[0, T^w]$ 以外では 0 とし、 $x(0) = x(T^w)$ を仮定する

$$X(f_k) = T_s^w \sum_{j=0}^{N-1} x(t_j) \exp(-i2\pi f_k \cdot jT^w / N) \quad T_s^w = T^w / N$$

通常、係数を含まない式を離散フーリエ変換として使う

$$y(f_k) = \sum_{j=0}^{N-1} x(t_j) \exp(-i2\pi k j / N) \quad f_k = k / T^w$$

三角関数の計算を毎回せずに離散Fourier変換できる

$$y_k = \sum_{j=0}^{N-1} x_j w_N^{kj} \quad w_N = \exp(-i2\pi / N) : \text{回転因子}$$

$$\begin{aligned} w_N^{k+1} &= (\cos(-2\pi k / N) + i \sin(-2\pi k / N)) (\cos(-2\pi / N) + i \sin(-2\pi / N)) \\ &= (\cos(-2\pi k / N) w_{N,r} - \sin(-2\pi k / N) w_{N,i}) \\ &\quad + i (\cos(-2\pi k / N) w_{N,i} + \sin(-2\pi k / N) w_{N,r}) \\ &= (w_{N,r}^k w_{N,r} - w_{N,i}^k w_{N,i}) + i (w_{N,r}^k w_{N,i} + w_{N,i}^k w_{N,r}) \end{aligned}$$

離散フーリエ変換: 行列表現

離散Fourier変換

$$\begin{pmatrix} y_0 \\ y_1 \\ \vdots \\ y_{N-1} \end{pmatrix} = \begin{pmatrix} 1 & 1 & \cdots & 1 \\ 1 & w_N^1 & w_N^2 & w_N^{N-1} \\ \vdots & w_N^2 & \ddots & \vdots \\ 1 & w_N^{N-1} & \cdots & w_N^{(N-1)(N-1)} \end{pmatrix} \begin{pmatrix} x_0 \\ x_1 \\ \vdots \\ x_{N-1} \end{pmatrix}$$

逆離散Fourier変換

$$\begin{pmatrix} x_0 \\ x_1 \\ \vdots \\ x_{N-1} \end{pmatrix} = \frac{1}{N} \begin{pmatrix} 1 & 1 & \cdots & 1 \\ 1 & w_N^{-1} & w_N^{-2} & w_N^{-(N-1)} \\ \vdots & w_N^{-2} & \ddots & \vdots \\ 1 & w_N^{-(N-1)} & \cdots & w_N^{-(N-1)(N-1)} \end{pmatrix} \begin{pmatrix} y_0 \\ y_1 \\ \vdots \\ y_{N-1} \end{pmatrix}$$

$w_N^k = w_N^{k \bmod N}$, $w_N^{k+N/2} = -w_N^k$ なので、 $k = 1 \sim N/2$ までの計算だけすればよい

高速フーリエ変換 (FFT)

金谷健一, これならわかる応用数学教室, 共立出版社 (2003)

データ数は $N = 2^m$ でなければいけない

DFT (計算量 N^2) と同じ計算だが、 $M \log N$ の計算量ですむ
簡単なハード回路で実装でき、多並列化が容易 (GPU)

離散Fourier変換は、 $w_N^k = z$ と置き換えると、 x_j を係数とする多項式になる

$$y_k = \sum_{j=0}^{N-1} x_j w_N^{kj} = \sum_{j=0}^{N-1} x_j z^j$$

$$\begin{aligned} y_k &= x_0 z^0 + x_1 z^1 + x_2 z^2 + \cdots + x_{N-1} z^{N-1} \\ &= x_0 z^0 + x_2 z^2 + \cdots + x_{N-2} z^{N-2} \\ &\quad + z(x_1 z^0 + x_3 z^2 + \cdots + x_{N-1} z^{N-2}) \end{aligned}$$

と変形すると、最後の式は、

項の数が $1/2$ で $z_2 = z^2$ に関する多項式であることがわかる

$$y_k = \sum_{j=0}^{N/2-1} x_{2j} z_2^j + z \sum_{j=0}^{N/2-1} x_{2j+1} z_2^j$$

高速フーリエ変換 (FFT)

金谷健一, これならわかる応用数学教室, 共立出版社 (2003)

$$y_k = x_0(z^2)^0 + x_2(z^2)^1 + \cdots + x_{N-2}(z^2)^{N/2-1} + z(x_1(z^2)^0 + x_3(z^2)^1 + \cdots + x_{N-1}(z^2)^{N/2-1}) = y_{k,N/2,1} + zy_{k,N/2,2}$$

$$y_{k,N/2,1} = x_0(z^4)^0 + x_4(z^4)^1 + \cdots + x_{N-2}(z^4)^{N/4-1} + (z^2)(x_2(z^4)^0 + x_6(z^4)^1 + \cdots + x_{N-3}(z^4)^{N/4-1}) = y_{k,N/4,1} + (z^2)y_{k,N/4,3}$$

$$y_{k,N/2,2} = x_1(z^4)^0 + x_5(z^4)^1 + \cdots + x_{N-1}(z^4)^{N/4-1} + (z^2)(x_3(z^4)^0 + x_7(z^4)^1 + \cdots + x_{N-2}(z^4)^{N/4-1}) = y_{k,N/4,2} + (z^2)y_{k,N/4,4}$$

$$y_{k,N} = y_{k,N/2,1} + zy_{k,N/2,2}$$

$$y_{k,N/2,1} = y_{k,N/4,1} + z^2 y_{k,N/4,3}$$

$$y_{k,N/2,2} = y_{k,N/4,2} + z^2 y_{k,N/4,4}$$

$$y_{k,N/4,1} = y_{k,N/8,1} + z^4 y_{k,N/4,3}$$

$$y_{k,N/4,2} = y_{k,N/8,2} + z^4 y_{k,N/4,4}$$

$$y_{k,N/4,3} = y_{k,N/8,5} + z^4 y_{k,N/4,7}$$

$$y_{k,N/4,4} = y_{k,N/8,6} + z^4 y_{k,N/4,8}$$

漸化式のかたちになっているので、項数 2 の Fourier 変換の結果から順次、項数 $2^2, 2^3, \dots, 2^N$ の Fourier 変換の計算ができる

FFTでの順番入れ替え

順序数を二進数であらわす。

それぞれの段階で「**奇数番目のデータを後半にずらす**」操作をする

=> 順序数の右から段階数に「**対応するビットが1のデータを後半にずらす**」

=> 順序数の変換がビット反転に対応する

最初のデータの並び順 (カッコ内は順序数のビット反転)

000 (000) 00**1** (100) 010 (010) 01**1** (110) 100 (001) 10**1** (101) 110 (011) 11**1** (111)

=> 第2段階

1: 000 (111) 0**1**0 (010) 100 (001) **11**0 (011)

2: 001 (100) 0**1**1 (110) 101 (101) **11**1 (111)

=> 第3段階

1-1: 000 (000) **1**00 (001)

1-2: 010 (010) **1**10 (011)

2-1: 001 (100) **1**01 (101)

2-2: 011 (110) **1**11 (111)

=> データ使用順序

1-1-1: 000 (000)

1-1-2: 100 (001)

1-2-1: 010 (010)

1-2-2: 110 (011)

2-1-1: 001 (100)

2-1-2: 101 (101)

2-2-1: 011 (110)

2-2-2: 111 (111)

高速フーリエ変換 (FFT)

金谷健一, これならわかる応用数学教室, 共立出版社 (2003)

$$y_k = \sum_{j=0}^{N/2-1} x_{2j} z_2^j + z_2^k \sum_{j=0}^{N/2-1} x_{2j+1} z_2^j$$

漸化式のかたちになっているので、項数 2 の Fourier 変換の結果から順次、項数 $2^2, 2^3, \dots, 2^N$ の Fourier 変換の計算ができる

$$\begin{aligned} FFT_N^k &= FFT_{N/2}^k + z_2^k FFT_{N/2}^k \\ FFT_N^{k/2+k} &= FFT_{N/2}^k - z_2^k FFT_{N/2}^k \end{aligned} \quad k = 0, 1, \dots, N/2-1$$

$$FFT_n^k = \sum_{j=0}^{n-1} x_{j'} z_2^{kj} \quad j' \text{ は } 2^n \text{ ごとに間引きしたデータ}$$

漸化式を解いて得られた FT データの順序は、元のデータの順序とは違う
=> 元データの順序を 2 進数にし、ビット反転させた値でソートしてから
漸化式を解く

FFT のアルゴリズム

1. 元データの順序をビット反転により並べなおす
2. 漸化式を解いて FT データを計算する。漸化式なので再帰アルゴリズムで解けるが、実際にはその必要はない (一般に、再帰関数を使わないほうが早い)